

Université Claude Bernard Lyon 1
Institut de Science Financière et d'Assurances



Prise en compte de l'hétérogénéité dans la construction des tables de mortalité prospectives de place en assurance

Julien Tomas - Frédéric Planchet
Institut de Science Financière et d'Assurances
Laboratoire de recherche de Sciences Actuarielle et Financière



Ce travail a bénéficié du support de l'Institut des Actuaire et de la Chair BNP Paribas Cardif "Management de la modélisation". Les points de vue exprimés dans ce document sont ceux de l'auteur et ne reflètent pas nécessairement ceux de l'Institut des Actuaire et de BNP Paribas Cardif.

Contents

- ➊ Motivations, approche & notations
- ➋ Positionner les populations
- ➌ Ajustement de la mortalité
- ➍ Identifier les composantes de la mortalité
- ➎ Extrapoler les paramètres variant dans le temps
- ➏ Projection des ajustements & remarques



Contents

- ➊ Motivations, approche & notations
- ➋ Positionner les populations
- ➌ Ajustement de la mortalité
- ➍ Identifier les composantes de la mortalité
- ➎ Extrapoler les paramètres variant dans le temps
- ➏ Projection des ajustements & remarques



Contents

- ➊ Motivations, approche & notations
- ➋ Positionner les populations
- ➌ Ajustement de la mortalité
- ➍ Identifier les composantes de la mortalité
- ➎ Extrapoler les paramètres variant dans le temps
- ➏ Projection des ajustements & remarques



Contents

- ➊ Motivations, approche & notations
- ➋ Positionner les populations
- ➌ Ajustement de la mortalité
- ➍ Identifier les composantes de la mortalité
- ➎ Extrapoler les paramètres variant dans le temps
- ➏ Projection des ajustements & remarques



Contents

- ➊ Motivations, approche & notations
- ➋ Positionner les populations
- ➌ Ajustement de la mortalité
- ➍ Identifier les composantes de la mortalité
- ➎ Extrapoler les paramètres variant dans le temps
- ➏ Projection des ajustements & remarques



Contents

- ➊ Motivations, approche & notations
- ➋ Positionner les populations
- ➌ Ajustement de la mortalité
- ➍ Identifier les composantes de la mortalité
- ➎ Extrapoler les paramètres variant dans le temps
- ➏ Projection des ajustements & remarques



Contents

- ➊ Motivations, approche & notations
- ➋ Positionner les populations
- ➌ Ajustement de la mortalité
- ➍ Identifier les composantes de la mortalité
- ➎ Extrapoler les paramètres variant dans le temps
- ➏ Projection des ajustements & remarques



Motivations

- Nous nous plaçons dans la situation de la **construction d'une table de mortalité prospective** pour laquelle les données disponibles sont
 - constituées de **groupes a priori hétérogènes**, et
 - observées sur des **périodes différentes**.

| Portefeuille | Age moyen à l'entrée | Age moyen à la sortie | Expo. moyenne | Age moyen au décès | Période d'observation | |
|--------------|-------------------------|--------------------------|------------------|-----------------------|-----------------------|------------|
| | | | | | Début | Fin |
| P1 | 40.59 | 48.94 | 8.35 | 60.52 | 01/01/1995 | 31/12/2010 |
| P2 | 41.54 | 45.36 | 3.818 | 52.3 | 01/01/2005 | 31/12/2010 |
| P3 | 44.43 | 46.69 | 2.26 | 77.04 | 01/07/2004 | 30/06/2007 |
| P4 | 51.43 | 61.74 | 10.31 | 77.92 | 01/01/1996 | 31/12/2007 |
| P5 | 41.57 | 46.60 | 5.03 | 55.83 | 01/01/2003 | 31/12/2009 |
| P6 | 47.76 | 55.22 | 7.45 | 73.82 | 01/01/1994 | 31/12/2009 |
| P7 | 48.81 | 52.79 | 3.97 | 73.51 | 01/01/2006 | 31/12/2010 |
| P8 | 46.44 | 55.10 | 3.66 | 62.15 | 01/01/2005 | 31/12/2009 |

TABLE: Statistiques observées par portefeuille, population masculine.

Motivations

- Sans prise en compte explicite de l'hétérogénéité, il est nécessaire de réduire la période d'observation à l'intersection des périodes d'observation des différentes populations.
- Cela s'avère pénalisant pour la détermination des tendances d'évolution de la mortalité et l'extrapolation
- Objectif : Proposer un modèle **intégrant explicitement la prise en compte de l'hétérogénéité** :
 - **conserver l'ensemble de l'historique** disponible pour toutes les populations, et
 - **augmenter la profondeur de l'historique** pour la **détermination des tendances de mortalité**.

Approche

- i. Positionner les populations les unes par rapport aux autres à partir d'un modèle à hasard proportionnel, de type modèle de Cox.
- ii. Ajuster les tables de mortalité par sexe par des méthodes non-paramétriques de vraisemblance locale où l'exposition observée de la population est pondérée par le coefficient obtenu à l'étape i.
- iii. Identifier les composantes de la mortalité et leur importance dans le temps par une analyse en composantes principales.
- iv. Extrapoler les paramètres variant dans le temps par des méthodes de séries temporelles.

Notations & hypothèses

Nombre d'individus, de décès, exposition et forces de mortalité

- À chacune des ces observations i , on associe une indicatrice δ_i indiquant si l'individu est décédé ou non,

$$\delta_i = \begin{cases} 1 & \text{si l'individu } i \text{ est décédé,} \\ 0 & \text{sinon,} \end{cases}$$

pour $i = 1, \dots, L_{x,t}$.

- On définit τ_i , le temps durant lequel l'individu i est observé (c'est l'exposition au risque).
- Ainsi,

$$\sum_{i=1}^{L_{x,t}} \tau_i = E_{x,t} \text{ et } \sum_{i=1}^{L_{x,t}} \delta_i = D_{x,t}.$$

- La force de mortalité à l'âge $x + \tau$ dans l'année calendaire t est définie par

$$\varphi_{x+\tau}(t) = \lim_{\Delta\tau \rightarrow 0^+} \frac{\Pr[\tau < T_x(t) \leq \tau + \Delta\tau | T_x(t) > \tau]}{\Delta\tau}$$

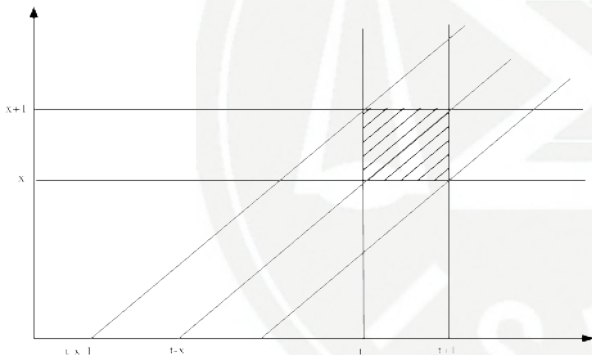


Notations & hypothèses

Hypothèse de mortalité constante par morceaux

- Dorénavant, on fait l'hypothèse de **constance des forces de mortalité** dans chaque carré unitaire du diagramme de Lexis :

$$\varphi_{x+\xi}(t+\zeta) = \varphi_x(t) \text{ pour } 0 \leq \xi < 1 \text{ et } 0 \leq \zeta < 1 \text{ et } x, t \text{ entiers.}$$



- Sous cette hypothèse, $p_x(t) = \exp\left(-\int_0^1 \underbrace{\varphi_{x+\xi}(t+\xi)}_{=\varphi_x(t)}\right) = \exp(-\varphi_x(t))$.



Contents

- ① Motivations, approche & notations
- ② Positionner les populations
- ③ Ajustement de la mortalité
- ④ Identifier les composantes de la mortalité
- ⑤ Extrapoler les paramètres variant dans le temps
- ⑥ Projection des ajustements & remarques



Positionner les populations

Modèle de Cox à hazard proportionnel

- Pour la population p , nous avons le modèle suivant :

$$\varphi_x^p(t) = \alpha^p \varphi_x^0(t), \text{ avec } \varphi_x^0(t) \text{ inconnue et } \alpha^p = \exp(\mathbf{z}_p^T \theta_p).$$

- Le paramètre θ_p mesure l'influence d'appartenir à la population p sur l'intensité, i.e. la force de mortalité.

| Portefeuille | coef | exp(coef) | se(coef) | z | Pr(> z) | Signif. |
|--------------|----------|-----------|----------|--------|------------|---------|
| P1 | 0.18764 | 1.20640 | 0.02313 | 8.112 | 4.44e - 16 | *** |
| P2 | -0.18614 | 0.83015 | 0.02586 | -7.199 | 6.05e - 13 | *** |
| P3 | 0.41198 | 1.50980 | 0.02073 | 19.875 | < 2e - 16 | *** |
| P4 | 0.30471 | 1.35623 | 0.02359 | 12.917 | < 2e - 16 | *** |
| P5 | 0.30755 | 1.36008 | 0.01555 | 19.775 | < 2e - 16 | *** |
| P6 | 0.03091 | 1.03139 | 0.01405 | 2.200 | 0.0278 | * |
| P7 | -0.14341 | 0.86640 | 0.01801 | -7.964 | 1.67e - 15 | *** |

TABLE: Coefficients estimés du modèle de Cox, population masculine.

Positionner les populations

Pondérer l'exposition au risque de chaque population I

- La contribution du i ème individu à la vraisemblance s'écrit,
 - si l'individu survie à son $(x + 1)$ ème anniversaire dans l'année calendaire t ($\delta_i = 0, \tau_i = 1$) alors : $p_x(t) = \exp(-\varphi_x(t))$;
 - si l'individu décède avant son $(x + 1)$ ème anniversaire dans l'année calendaire t ($\delta_i = 1, \tau_i < 1$) alors :
 $\tau_i p_x(t) \varphi_{x+\tau_i}(t) = \exp(-\tau_i \varphi_x(t)) \varphi_x(t)$.

- La contribution de l'individu i à la vraisemblance vaut donc

$$\exp(-\tau_i \varphi_x(t)) (\varphi_x(t))^{\delta_i}.$$

- La vraisemblance devient

$$\mathcal{L}(\varphi_x(t)) = \prod_{i=1}^{L_{x,t}} \exp(-\tau_i \varphi_x(t)) (\varphi_x(t))^{\delta_i} = \exp(-E_{x,t} \varphi_x(t)) (\varphi_x(t))^{D_{x,t}},$$

- et $\log \mathcal{L}(\varphi_x(t)) = -E_{x,t} \varphi_x(t) + D_{x,t} \log \varphi_x(t)$.



Positionner les populations

Pondérer l'exposition au risque de chaque population II

- La vraisemblance $\mathcal{L}(\varphi_x(t))$ est **proportionnelle à la vraisemblance de Poisson** basée sur $D_{x,t} \sim \mathcal{P}(E_{x,t} \varphi_x(t))$.
- Ainsi pour population p : $D_{x,t}^p \sim \mathcal{P}(E_{x,t}^p \varphi_x^p(t))$.
- Du fait de l'additivité de la loi de Poisson :

$$\sum_p D_{x,t}^p \sim \mathcal{P}\left(\sum_p E_{x,t}^p \varphi_x^p(t)\right), \text{ d'où } \sum_p D_{x,t}^p \sim \mathcal{P}\left(\sum_p E_{x,t}^p \alpha_p \varphi_x^0(t)\right).$$

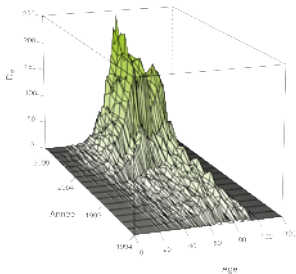
- On considère le modèle suivant :

$$D_{x,t}^o \sim \mathcal{P}(E_{x,t}^o \varphi_x^o(t)),$$

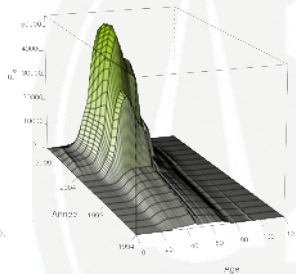
$$\text{où } D_{x,t}^o = \sum_p D_{x,t}^p \text{ et } E_{x,t}^o = \sum_p E_{x,t}^p \alpha_p.$$



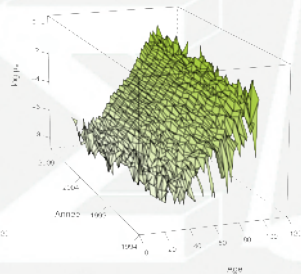
Données agrégées et pondérées



(a) $D_{x,t}^o$



(b) $E_{x,t}^o$



(c) $\log \varphi_x(t)$

FIGURE: Statistiques agrégées et pondérées, population masculine.

Contents

- ① Motivations, approche & notations
- ② Positionner les populations
- ③ Ajustement de la mortalité
- ④ Identifier les composantes de la mortalité
- ⑤ Extrapoler les paramètres variant dans le temps
- ⑥ Projection des ajustements & remarques



Ajustement de la mortalité

Méthode de vraisemblance locale

- Estimer $\varphi_x^0(t)$ en considérant le modèle suivant :

$$D_{x,t}^{\circ} \sim \mathcal{P} (E_{x,t}^{\circ} \exp(\psi(x, t))),$$

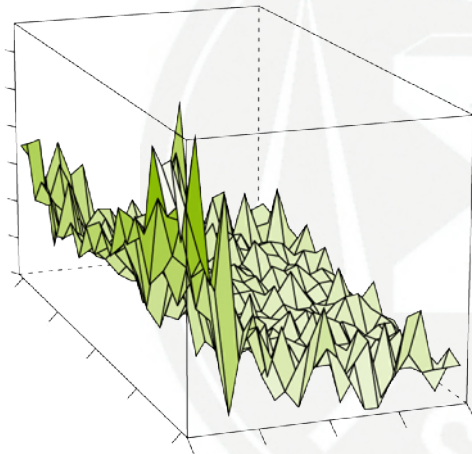
où $D_{x,t}^{\circ} = \sum_p D_{x,t}^p$, $E_{x,t}^{\circ} = \sum_p E_{x,t}^p \alpha_p$ et $\psi(x, t)$ est une fonction lisse non-spécifiée.

- L'idée principale : **chaque force de mortalité est étroitement liée à ses voisines.**
- Les observations φ_j^0 dans le voisinage de φ_i^0 contiennent de l'information à propos de la valeur de ψ au point $i = (x_i, t_i)$.
- Une estimation améliorée de φ_i^0 peut être obtenue **en lissant les estimations individuelles** φ_j^0 .
- Ainsi la mortalité n'est pas résumée en a petit nombre de paramètres mais décrite par les n forces de mortalité.



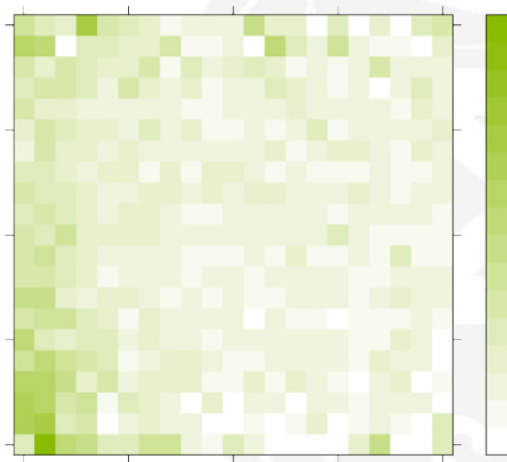
Méthode de vraisemblance locale

Comment estimer ψ ? Illustration de l'idée générale



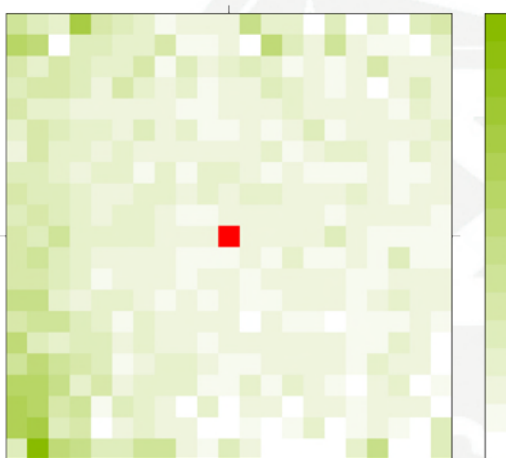
Méthode de vraisemblance locale

Comment estimer ψ ? Illustration de l'idée générale



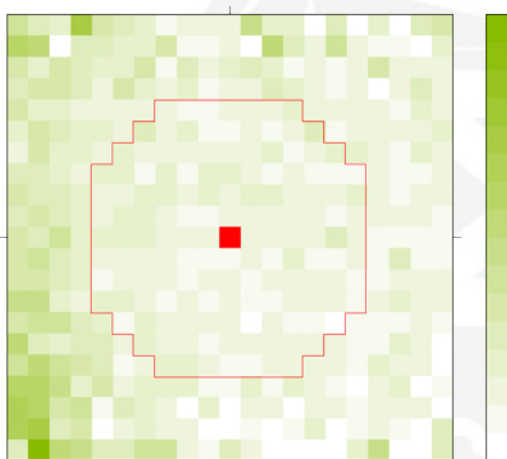
Méthode de vraisemblance locale

Comment estimer ψ ? Illustration de l'idée générale



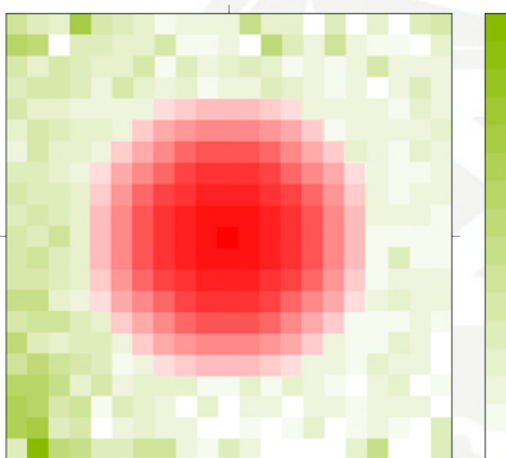
Méthode de vraisemblance locale

Comment estimer ψ ? Illustration de l'idée générale



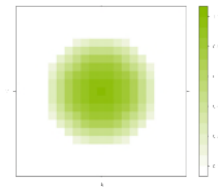
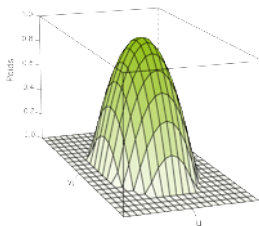
Méthode de vraisemblance locale

Comment estimer ψ ? Illustration de l'idée générale

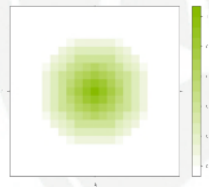
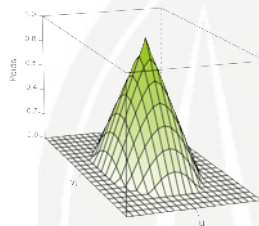


Méthode de vraisemblance locale

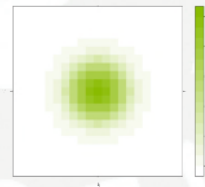
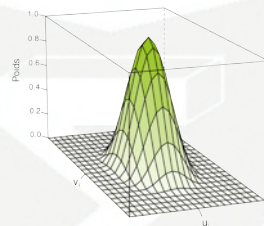
La fonction de poids



(a) Epanechnikov



(b) Triangulaire

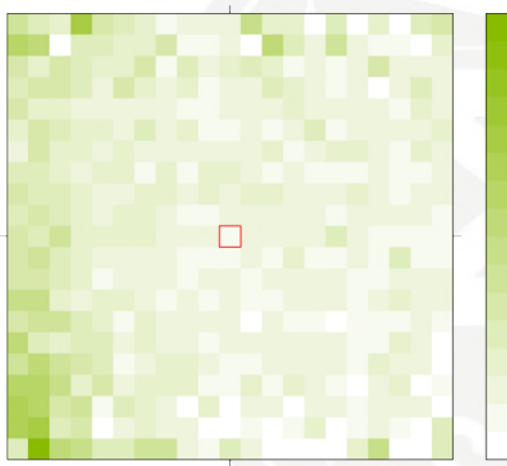


(c) Triweight

FIGURE: Système de pondération pour des fonctions de poids avec $h = 7$

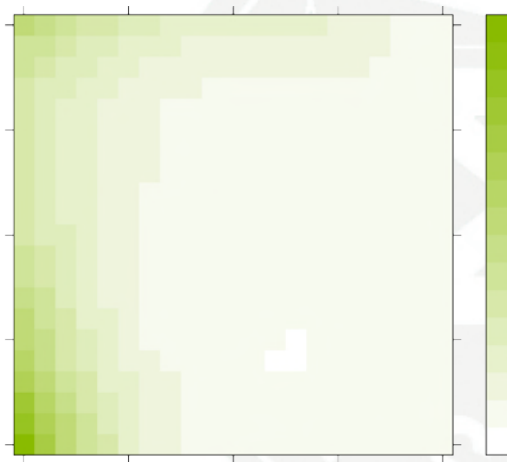
Méthode de vraisemblance locale

Comment estimer ψ ? Illustration de l'idée générale



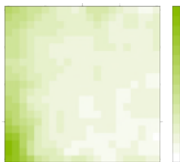
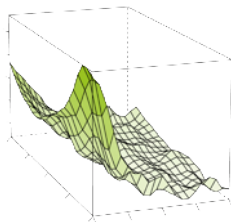
Méthode de vraisemblance locale

Comment estimer ψ ? Illustration de l'idée générale

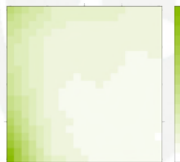
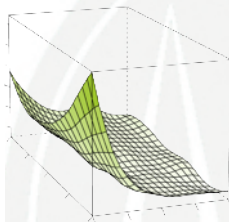


Méthode de vraisemblance locale

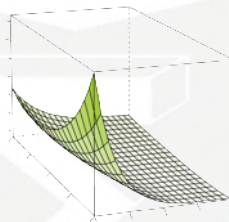
Comparaison de l'ajustement avec différents voisinages



(a) $h = 3$ (29 obs.)



(b) $h = 5$ (81 obs.)



(c) $h = 10$ (317 obs.)

FIGURE: Comparaison de l'ajustement avec différents voisinages



Sélection des paramètres

Equilibre entre le biais et la variance

- On doit garder à l'esprit que l'ajustement et donc la sélection des paramètres de lissage est un **compromis entre deux objectifs** :
 - L'élimination des irrégularités, et
 - l'ajustement désiré dans la progression des forces de mortalité.
- La stratégie est d'évaluer un nombre d'ajustements *candidats* et d'utiliser un critère pour sélectionner parmi les ajustements celui qui aura le score le plus faible,

$$AIC = \sum_{i=1}^n D(y_i, (\theta(\hat{\mu}_i))) + 2 v,$$

où v sont les degrés de liberté.



Méthode de vraisemblance locale

Les modèles proposés

| Modèle | Formule | Réf. | Estimation | |
|--------|--|---------------|---------------------|---------------------|
| | | | Vrais. loc. | Min. dist. |
| M1 | $D_{x,t}^o \sim \mathcal{P}(E_{x,t}^o \exp(f_1(x, t)))$ | | M1 | |
| M2 | $D_{x,t}^o \sim \mathcal{P}(E_{x,t}^o \exp(f_2(\log(\varphi_x^{\text{ref}}(t))))$ | INSEE TG05 | M2.INSEE M2.TG05 | |
| M3 | $D_{x,t}^o \sim \mathcal{P}(E_{x,t}^o \varphi_x^{\text{ref}}(t) \exp(f_1(x, t)))$ | INSEE TG05 | M3.INSEE M3.TG05 | |
| M4 | $\text{logit } \varphi_x(t) = \alpha + \beta \text{logit } \varphi_x^{\text{ref}}(t) + \epsilon_{x,t}$ | INSEE TG05 | | M4.INSEE M4.TG05 |

TABLE: Description des modèles de lissage.



Méthode de vraisemblance locale

Comparaison graphique des ajustements

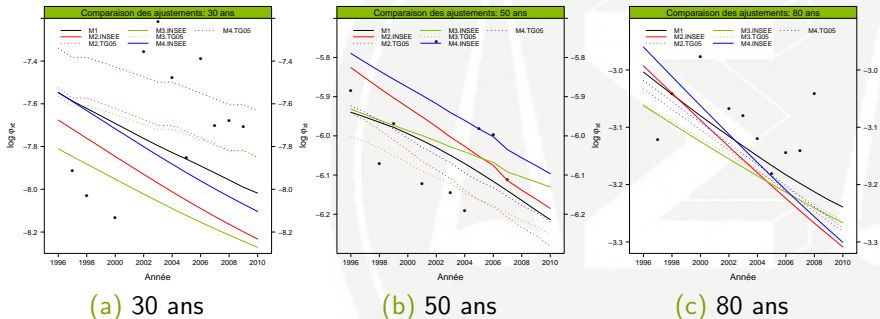


FIGURE: Comparaison graphique des ajustements (log), population masculine

Tests et quantités pour comparer les ajustements

| | | M1 | M2.INSEE | M2.TG05 | M3.INSEE | M3.TG05 | M4.INSEE | M4.TG05 |
|-------------------------|--------------|----------|----------|----------|----------|----------|----------|----------|
| χ^2 | | 1099.24 | 1202.18 | 1252.04 | 1241.99 | 1310.53 | 1393.64 | 1416.34 |
| R^2 | | 0.9465 | 0.9423 | 0.9476 | 0.9449 | 0.9484 | 0.9101 | 0.9466 |
| MAPE (%) | | 22.28 | 22.78 | 22.24 | 22.03 | 21.86 | 25.79 | 24.73 |
| Déviance | | 1107.23 | 1193.44 | 1244.03 | 1204.31 | 1282.41 | 1447.64 | 1441.37 |
| Résidus standardisés | > 2 | 56 | 61 | 67 | 64 | 75 | 73 | 84 |
| | > 3 | 6 | 10 | 11 | 12 | 15 | 16 | 17 |
| Test du SMR | SMR | 0.9821 | 0.9963 | 0.9954 | 0.9985 | 1.0029 | 0.9774 | 0.9939 |
| | ξ^{SMR} | 3.8878 | 0.7921 | 0.9942 | 0.3098 | 0.6175 | 4.9155 | 1.3128 |
| | p-valeur | 1e - 04 | 0.2141 | 0.1601 | 0.3784 | 0.2684 | 0 | 0.0946 |
| Test de Wilcoxon | W | 229508 | 222115 | 216420 | 212709 | 215311 | 239969 | 220406 |
| | ξ^W | 2.4977 | 1.5731 | 0.8609 | 0.3969 | 0.7223 | 3.8059 | 1.3594 |
| | p-valeur | 0.0125 | 0.1157 | 0.3893 | 0.6915 | 0.4701 | 1e - 04 | 0.1740 |
| Test des signes | +(-) | 430(485) | 436(479) | 436(479) | 453(462) | 456(459) | 395(520) | 409(506) |
| | ξ^{SIG} | 1.7852 | 1.3885 | 1.3885 | 0.2645 | 0.0661 | 4.0993 | 3.1737 |
| | p-valeur | 0.0742 | 0.1650 | 0.1650 | 0.7914 | 0.9473 | 0 | 0.0015 |
| Test des runs | Nbre de runs | 442 | 440 | 424 | 434 | 418 | 396 | 376 |
| | ξ^{RUN} | 0.9858 | 1.1596 | 2.2204 | 1.618 | 2.6789 | 3.6378 | 5.1758 |
| | p-valeur | 0.3243 | 0.2462 | 0.0264 | 0.0014 | 0.1057 | 3e - 04 | 0 |



Contents

- ① Motivations, approche & notations
- ② Positionner les populations
- ③ Ajustement de la mortalité
- ④ Identifier les composantes de la mortalité
- ⑤ Extrapoler les paramètres variant dans le temps
- ⑥ Projection des ajustements & remarques



Identifier les composantes de la mortalité

Décomposition de la surface

- Décomposer la surface via une expansion de fonctions de base

$$\log \widehat{\varphi}_x(t) = \mu(x) + \sum_{k=1}^K \beta_{t,k} \phi_k(x) + \varepsilon_t(x), \quad \varepsilon_t(x) \sim \mathcal{N}(0, v(x)),$$

où $\mu(x)$ est la moyenne temporelle de $\log \widehat{\varphi}_x(t)$ et $\{\phi_k(x)\}$ est l'ensemble des fonctions de bases orthogonales.

- L'idée principale est d'identifier les composantes de la mortalité et leur importance dans le temps.
- La décomposition utilisant une base orthogonale est obtenue via l'analyse en composante principale.
- Le nombre K de paramètres est déterminé par leur pouvoir explicatif.



Identifier les composantes de la mortalité

Comparaison graphique $\hat{\mu}(x)$, $\hat{\phi}_1(x)$ et $\hat{\beta}_{t,1}$

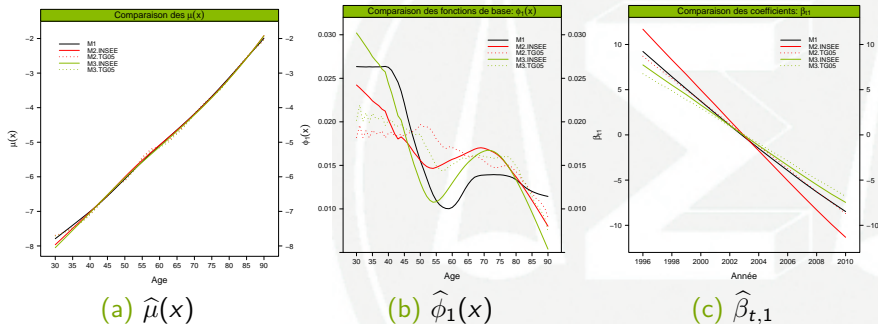


FIGURE: Comparaison graphique des composantes de la mortalité, population masculine

Contents

- ① Motivations, approche & notations
- ② Positionner les populations
- ③ Ajustement de la mortalité
- ④ Identifier les composantes de la mortalité
- ⑤ Extrapoler les paramètres variant dans le temps
- ⑥ Projection des ajustements & remarques



Extrapoler les paramètres variant dans le temps

- Ajuster des modèles de série temporelle à chaque $\hat{\beta}_{t,1}$.
- On considère la gamme complète ARIMA(p,d,q) avec $d = 0, 1, 2$ et $p, q = 0, 1, 2, 3, 4$.
- Les paramètres p, d et q , sont sélectionnés selon le critère BIC.

| Modèle & composant | | Modèle pour les $\beta_{t,k}$ | |
|--------------------|---------|-------------------------------|---|
| M1 | $k = 1$ | ARIMA(1,2,0) | $\beta_t = 2\beta_{t-1} - \beta_{t-2} + \mu + \phi(\beta_{t-1} - 2\beta_{t-2} + \beta_{t-3} - \mu) + Z_t$ |
| M2.INSEE | $k = 1$ | ARIMA(0,2,0) | $\beta_t = 2\beta_{t-1} - \beta_{t-2} + Z_t$ |
| M2.TG05 | $k = 1$ | ARIMA(0,1,0) with drift | $\beta_t = \beta_{t-1} + d + Z_t$ |
| M3.INSEE | $k = 1$ | ARIMA(0,2,0) | $\beta_t = 2\beta_{t-1} - \beta_{t-2} + Z_t$ |
| M3.TG05 | $k = 1$ | ARIMA(0,1,0) with drift | $\beta_t = \beta_{t-1} + d + Z_t$ |

TABLE: Description des modèles pour les paramètres variant dans le temps.

- Extrapoler les coefficients $\{\beta_{t,1}\}$ en utilisant les modèles de séries temporelles.

Extrapoler les paramètres variant dans le temps

Comparaison graphique

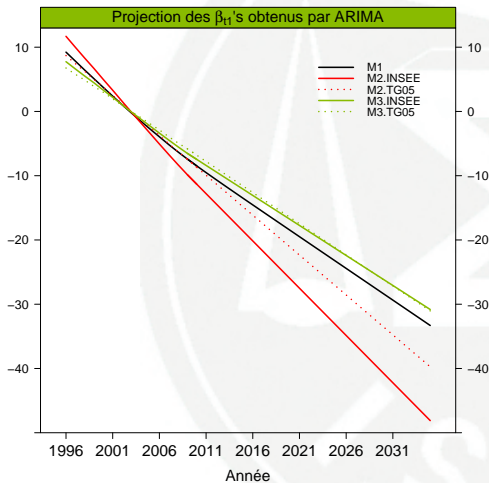


FIGURE: Projection des coefficients estimés $\beta_{t,1}$.

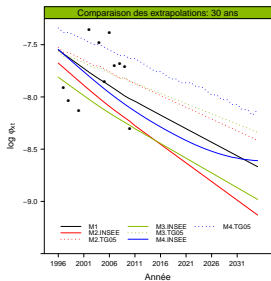
Contents

- ① Motivations, approche & notations
- ② Positionner les populations
- ③ Ajustement de la mortalité
- ④ Identifier les composantes de la mortalité
- ⑤ Extrapoler les paramètres variant dans le temps
- ⑥ Projection des ajustements & remarques

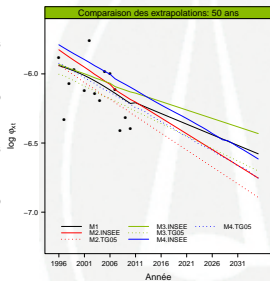


Projection des ajustements

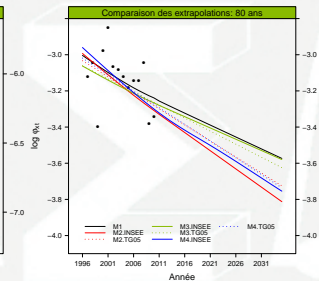
Prise en compte de l'hétérogénéité



(a) 30 ans



(b) 50 ans

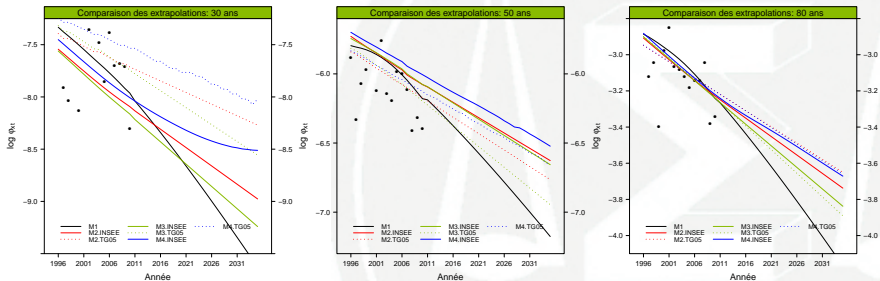


(c) 80 ans

FIGURE: Comparaisons des projections pour plusieurs âges, log, population masculine

Projection des ajustements

Sans prise en compte de l'hétérogénéité



(a) 30 ans

(b) 50 ans

(c) 80 ans

FIGURE: Comparaisons des projections pour plusieurs âges, log, population masculine

Remarques

- Les modèles possèdent les caractéristiques suivantes en commun :
 - Le niveau global de la mortalité diminue avec le temps
 - Ces améliorations sont plus importantes pour les jeunes adultes que pour les âges élevés.
- Néanmoins, les modèles divergent sur le niveau et la rapidité des ces améliorations.
- Nous devons donc peser les forces et faiblesses de chaque modèle pour valider la table de mortalité.
- La détermination des tendances de mortalité est fortement biaisée sans prise en compte explicite de l'hétérogénéité, notamment pour les modèles endogènes.

Ce travail a bénéficié du support de l'Institut des Actuaire et de la Chair BNP Paribas Cardif "Management de la modélisation". Les points de vue exprimés dans ce document sont ceux de l'auteur et ne reflètent pas nécessairement ceux de l'Institut des Actuaire et de BNP Paribas Cardif.



Références

- Brass, W. (1971). On the scale of mortality. In W. Brass (ed.), editor, *Biological aspects of demography*. London : Taylor & Francis.
- Brockwell, P. J. and Davis, R. A. (2002). *Introduction to time series and forecasting*. Springer-Verlag New-York, Inc., second edition.
- Cox, D. R. (1972). Regression models and life-tables. *Journal of the Royal Statistical Society*, **34**(2), 187–220. [Disponible ici](#).
- Delwarde, A. and Denuit, M. (2003). Importance de la période d'observation et des âges considérés dans la projection de la mortalité selon la méthode de Lee-Carter. *Belgian Actuarial Bulletin*, **3**(1), 1–21. [Disponible ici](#).
- Delwarde, A. and Denuit, M. (2005). *Construction de tables de mortalité périodiques et prospectives*. Assurance Audit Actuariat. Economica.
- Delwarde, A., Kachkhdze, D., Olie, L., and Denuit, M. (2004). Modèles linéaires et additifs généralisés, maximum de vraisemblance local et méthodes relationnelles en assurance sur la vie. *Bulletin Français d'Actuariat*, **6**(12), 77–102. [Disponible ici](#).
- Tomas, J. (2011). A local likelihood approach to univariate graduation of mortality. *Bulletin Français d'Actuariat*, **11**(22), 105–153. [Disponible ici](#).
- Tomas, J. and Planchet, F. (2013). Multidimensional smoothing by adaptive local kernel-weighted log-likelihood with application to long-term care insurance. *Insurance : Mathematics & Economics*, **52**(3), 573–589. [Disponible ici](#).

